

熊本大学 工学部 正員 福井 弘
 同上 正員 三池 亮次
 同上 学生員 ○右田 泰弘

1. 緒言

いかゆる次元解析法とは、現象を規定する諸量を無次元因子として捉えてその相互関係を検討する手法であり、無次元量を誘導するにあたって Buckingham の R 定理がしばしば用いられる。

しかしながら、構造解析のように数式による現象表示が比較的容易な場合には、Buckingham の R 定理によらずとも、数式をもつて無次元化によって、より適正な無次元量を見出すことができる。本文は、一般骨組構造物の力学的性状を支配する無次元量を誘導する一試みとして、トラスの断面力に影響を及ぼす主要形状パラメータが細長比であることを確認し、あわせて Z, 3 ヶトラス形状に対して、この細長比と部材断面力との関係を数値計算によって検討した結果を報告するものである。

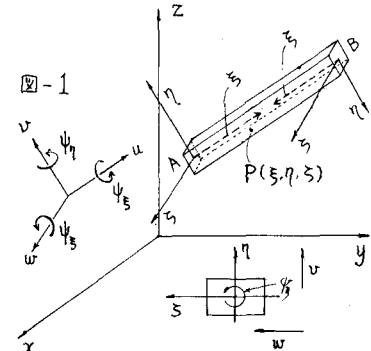
なお、無次元量を変数とする構造解析を行えば、構造物の一般的性状をより少ない無次元変数によって検討することができるばかりでなく、構造物の比較設計あるいは模型実験の相似率を明確に把握することが可能となるのである。ここでは主として形状無次元量の誘導に止まる。

2. 立体骨組構造物の無次元解析およびトラス部材への適用

ここでは、節点における力の平衡方程式、各部材の断面力に関する平衡方程式、および部材断面力と変位との関係式によりなる連立微分方程式を解くことにより、中間荷重の作用する場合の、せん断変形効果を考慮したトラスおよびラーメンの一般弾性基礎式の無次元解析を行う。

立体構造物の一部材 AB の重心軸方向を z 軸にとり、A 点を原点とする図-1 に示す右手直交座標軸（部材座標軸）u, v, w 軸を考える。各軸方向の変位を u, v, w、各軸のまわりの回転角を ψ_u, ψ_v, ψ_w とし、その正の方向を図-1 に示すとおりとする。（かうとき、注意点 P(5, 7, 5) における変位 u, v, w は、z 軸に垂直面の変位と、中立軸すなわち y, z 軸のまわりの回転および z 軸のまわりのねじりモーメントによる変位が合成されたものである。また、部材の注意の正の断面における正の u, v, z 軸方向の軸力およびせん断力を X, Y, Z、各軸のまわりのモーメントを M_u, M_v, M_w、添字 i, j (i, j) 部材を表わすもとすれば、

$$\left. \begin{aligned} X_{ij} &= E_y A_{ij} \frac{du_{ij}}{dz} & Y_{ij} &= G_{ij} A_{ij} \left(\frac{dv_{ij}}{dz} - \psi_{w_{ij}} \right) & Z_{ij} &= G_{ij} A_{ij} \left(\frac{dw_{ij}}{dz} + \psi_{v_{ij}} \right) \\ M_{3ij} &= k_{ij} G_y I_{3ij} \frac{d\psi_{3ij}}{dz} & M_{vij} &= E_y I_{vij} \frac{d\psi_{vij}}{dz} & M_{wij} &= E_y I_{wij} \frac{d\psi_{wij}}{dz} \end{aligned} \right\} (1)$$



ここに、 E , G は弾性係数およびせん断弹性係数、 A , I は断面積および断面2次モーメントである。各部材における断面力と、部材間にかかる各軸方向荷重および各軸のまわりモーメント P_{3ij} , P_{1ij} , P_{2ij} , P_{4ij} , P_{5ij} , P_{6ij} に関する平衡方程式は、次式⁽²⁾とおりとなる。すなはち

$$\left. \begin{aligned} \frac{dX_{ij}}{d\xi} + P_{3ij} &= 0 & \frac{dY_{ij}}{d\xi} + P_{1ij} &= 0 & \frac{dZ_{ij}}{d\xi} + P_{2ij} &= 0 \\ \frac{dM_{3ij}}{d\xi} + P_{4ij} &= 0 & \frac{dM_{1ij}}{d\xi} - Z_{ij} + P_{5ij} &= 0 & \frac{dM_{2ij}}{d\xi} + Y_{ij} + P_{6ij} &= 0 \end{aligned} \right\} \quad (2)$$

また、 i 節点における力およびモーメントの平衡方程式は

$$\sum_j (X_{ij}l_{3x} + Y_{ij}l_{3y} + Z_{ij}l_{3z}) + X_i = 0 \quad \sum_j (X_{ij}l_{3y} + Y_{ij}l_{3y} + Z_{ij}l_{3y}) + Y_i = 0 \quad \sum_j (X_{ij}l_{3z} + Y_{ij}l_{3z} + Z_{ij}l_{3z}) + Z_i = 0 \quad (3)$$

$$\sum_j (M_{3ij}l_{3x} + M_{1ij}l_{3y} + M_{2ij}l_{3z}) + M_{2i} = 0 \quad \sum_j (M_{1ij}l_{3y} + M_{5ij}l_{3y} + M_{2ij}l_{3y}) + M_{1y} = 0 \quad \sum_j (M_{3ij}l_{3z} + M_{4ij}l_{3z} + M_{5ij}l_{3z}) + M_{2z} = 0$$

ここで、 X_i , Y_i , Z_i , M_{2i} , M_{1y} , M_{2z} は i 節点における固定座標軸方向の外力またはその軸のまわりの外力とモーメントであり、 X_{ij} , Y_{ij} , Z_{ij} は (i,j) 部材の i 点における断面力、 l_{3x} , l_{3y} , l_{3z} は固定座標軸に対する部材座標軸の方向余弦である。以上より次、無次元断面力を導導することができる。

$$\left. \begin{aligned} X'_{ij} &= \frac{X_{ij}}{E_o A_o} = \alpha_{ij}(U'_{ijj} - U'_{ij}) + \frac{C_{Xij}}{E_o A_o} & M'_{3ij} &= \frac{M_{3ij}}{E_o A_o l_o} = \beta_{ij}(M_3 \psi_3)'_{ij} (\psi_{3ij} - \psi_{3ji}) + \frac{C_{M3ij}}{E_o A_o l_o} \\ Y'_{ij} &= \frac{Y_{ij}}{E_o A_o} = \alpha_{ij}\{(Yu)'_{ij}(U'_{ijj} - U'_{ij}) + (Y\psi_3)'_{ij}(\psi_{3ijj} + \psi_{3ji})\} + \frac{C_{Yij}}{E_o A_o} & \\ Z'_{ij} &= \frac{Z_{ij}}{E_o A_o} = \alpha_{ij}\{(Zw)'_{ij}(W'_{ijj} - W'_{ij}) + (Z\psi_3)'_{ij}(\psi_{3ijj} + \psi_{3ji})\} + \frac{C_{Zij}}{E_o A_o} & \\ M'_{1ij} &= \frac{M_{1ij}}{E_o A_o l_o} = \beta_{ij}\{(M_1 w)'_{ij}(W'_{ijj} - W'_{ij}) + (M_1 \psi_1)'_{ij}(\psi_{1ijj} + \psi_{1ji})\} + \frac{C_{M1ij}}{E_o A_o l_o} & \\ M'_{2ij} &= \frac{M_{2ij}}{E_o A_o l_o} = \beta_{ij}\{(M_2 v)'_{ij}(V'_{ijj} - V'_{ij}) + (M_2 \psi_2)'_{ij}(\psi_{2ijj} + \psi_{2ji})\} + \frac{C_{M2ij}}{E_o A_o l_o} \end{aligned} \right\} \quad (4)$$

ここに、 E_o , A_o , l_o 等の添字^oは基本部材における値を意味し、 C_{Xij} , C_{Yij} , C_{Zij} 等は軸力、せん断力、モーメントに関する荷重常数⁷⁾。両端固定部材に中間荷重の作用する場合の i 節における各断面力である。また、

$$\left. \begin{aligned} \alpha_{ij} &= \frac{E_o A_o}{E_o A_o} & U'_{ijj} &= \frac{U_{ijj}}{l_{ij}}, \quad U'_{ij} &= \frac{U_{ij}}{l_{ij}}, \quad \dots \\ (Yu)'_{ij} &= \frac{12}{(1+12\varepsilon_{3ij})r_{ij}^2}, \quad \varepsilon_{3ij} = \frac{2(1+\nu_{ij})}{r_{ij}^2}, \quad r_{ij}^2 &= \frac{A_{ij}l_{ij}^2}{I_{3ij}}, \quad (Y\psi_3)'_{ij} = -\frac{1}{2}(Yu)'_{ij} \\ (Zw)'_{ij} &= \frac{12}{(1+12\varepsilon_{1ij})r_{ij}^2}, \quad \varepsilon_{1ij} = \frac{2(1+\nu_{ij})}{r_{ij}^2}, \quad r_{ij}^2 &= \frac{A_{ij}l_{ij}^2}{I_{1ij}}, \quad (Z\psi_1)'_{ij} = \frac{1}{2}(Zw)'_{ij} \end{aligned} \right\} \quad (5)$$

7) ε_{3ij} , r_{ij} は細長比であり、細長比の大さい場合には、 ε_{3ij} , ε_{1ij} は近似的に零と見なし得る。すなはち、細長比の大さい場合にはせん断力による菱形を無視し得ることわかる。同様に

$$\left. \begin{aligned} \beta_{ij} &= \alpha_{ij} \frac{l_{ij}}{l_o} = \alpha_{ij} \delta_{ij} & & \\ (M_3 \psi_3)'_{ij} &= \frac{k_{ij}}{z(1+\nu_{ij})r_{3ij}^2}, \quad r_{3ij}^2 = \frac{A_{ij}l_{ij}^2}{I_{3ij}} = \frac{1}{\frac{1}{r_{3ij}^2} + \frac{1}{r_{3ji}^2}} & & \\ (M_1 w)'_{ij} &= \frac{-6}{(1+12\varepsilon_{1ij})r_{1ij}^2}, \quad (M_1 \psi_1)'_{ij} = \frac{-2(1-6\varepsilon_{1ij})}{(1+12\varepsilon_{1ij})r_{1ij}^2}, \quad (M_1 \psi_1)'_{ij} = \frac{-4(1+3\varepsilon_{1ij})}{(1+12\varepsilon_{1ij})r_{1ij}^2} & & \\ (M_2 v)'_{ij} &= \frac{6}{(1+12\varepsilon_{2ij})r_{2ij}^2}, \quad (M_2 \psi_2)'_{ij} = \frac{-2(1-6\varepsilon_{2ij})}{(1+12\varepsilon_{2ij})r_{2ij}^2}, \quad (M_2 \psi_2)'_{ij} = \frac{-4(1+3\varepsilon_{2ij})}{(1+12\varepsilon_{2ij})r_{2ij}^2} & & \end{aligned} \right\} \quad (6)$$

である。(5), (6) 式から、細長比の大さい場合、部材断面係数 $(Yu)'_{ij}$, $(Zw)'_{ij}$ 等は何れも近似的に零²⁾、変位が微小であれば、(4)式により X'_{ij} 以外の断面力は小さくなるであろう。トラス部材への適用例は講演会において報告する。本研究を行うにつれて本學吉村教授より御教示を得たことを記し謝意を表する